

## Изследване на стационарните и нестационарните аеродинамични характеристики на органи за управление на летателни апарати при дозвукови скорости чрез вихров метод

Володя Николов

Институт за космически изследвания, БАН

Летателните апарати имат специални плоскости, с помощта на които се изменят техните свойства. Тези плоскости се наричат управляващи органи (УО). Летателният апарат има няколко УО, които се използват поотделно или заедно в зависимост от режима на полета.

Обикновено УО (корнила, елерони, задкрилки и т. н.) представляват отклоняващи се части от крилото или от опашната плоскост. Между неподвижната и отклоняващата се части се образува пролука. В случай, че нейните размери са малки, влиянието ѝ върху аеродинамичните характеристики може да се пренебрегне и да се счита, че крилото и УО се обтичат като едно цяло [3].

Разглеждаме крило, извършващо неустановено движение със средна скорост  $u_0$ , която не зависи от времето. Приемаме, че тъгълът на плъзгане  $\beta$  и ъгловата скорост на курса  $\Omega_y$  са равни на нула.

Ъглите на отклонение на УО означаваме с  $\delta$ . Приемаме, че повърхнината на крилото може да се деформира вследствие на отклонение на УО. Деформацията може да се характеризира чрез отклонение на средната повърхнина на крилото от неговата плоскост  $y=0$  [1]

$$(1) \quad \eta(\xi, \zeta, \tau) = \frac{y(\xi, \zeta, \tau)}{b}, \quad \tau = \frac{u_0 t}{b},$$

където  $b$  е характерен линеен размер.

В линейните задачи деформацията може да се представи със следната формула:

$$(2) \quad \eta(\xi, \zeta) = f_\delta(\xi, \zeta) \delta,$$

където  $f_\delta(\xi, \zeta)$  е функция, определяща формата на деформация и независеща от времето;  $\delta(\tau)$  — машаб на деформация, зависещ от времето.

Тогава всяка функция  $\eta(\xi, \zeta, \tau)$  може да се представи в следния вид:

$$(3) \quad \eta(\xi, \zeta, \tau) = \sum_i f_i^{(\delta)}(\xi, \zeta) \delta(\tau),$$

което позволява аеродинамичните характеристики да се получават като линейна комбинация от решения.

За кинематичен параметър  $q_i$ , характеризиращ деформацията на крилото, и за производна на кинематичния параметър по безразмерно време приемаме съответно

$$(4) \quad q_i = \delta(\tau), \quad \dot{q}_i = \dot{\delta} = \frac{d\delta}{dt} \cdot \frac{b}{u_0}.$$

Крилото и УО заменяме със средните им повърхнини, като по този начин ги схематизираме на хоризонталната равнина  $xOz$  (фиг. 1). УО могат да имат произволна форма в план и да се разполагат на задния, предния или страничните ръбове на крилото.

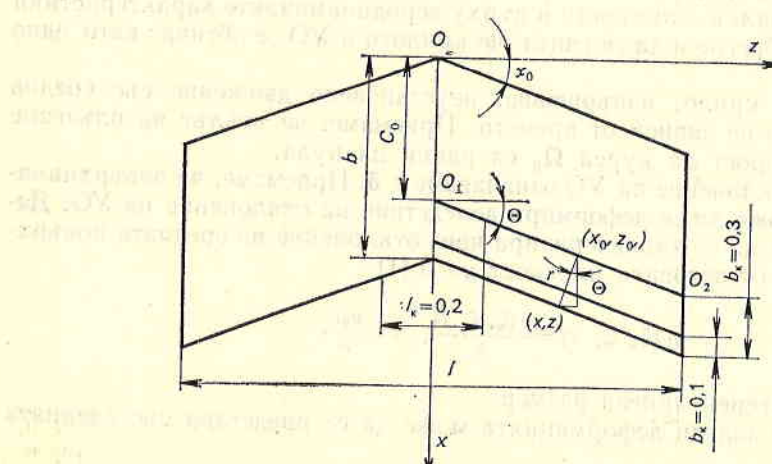
За кормило приемаме УО, чито ъгли на отклонение  $\delta_k$  са единопосочни на симетричните части на крилото, за елерони — чито ъгли на отклонение  $\delta_e$  са равнопротивоположни. Приемаме, че  $\delta_k > 0$ , когато кормилата са отклонени надолу, и  $\delta_e > 0$ , когато десният елерон е отклонен надолу, а левият — нагоре. Елевонът се разглежда като комбинация на кормило и елерон.

Разглеждаме дясната половина на крилото в план (фиг. 1). Кормилото (елеронът) може да се завърта около произволна права  $O_1 O_2$ , която образува ъгъл  $\theta$  с оста  $Oz$  и отсича хорда  $C_0$  от оста  $Ox$ . Уравнението на правата има вида

$$(5) \quad x' = C_0 + z' \operatorname{tg} \theta.$$

Уравнението на перпендикуляра към нея, минаващ през точка  $(x, z)$ , може да се представи във вида

$$(6) \quad (x' - x) = -(z' - z) \operatorname{cotg} \theta.$$



Фиг. 1

На кормилото и елерона с линейна точност може да се запише

$$(7) \quad y_k = r\delta_k, \quad y_e = r\delta_e.$$

където

$$(8) \quad r = (x - x_0)/\cos \theta.$$

Координатата  $x_0$  на пресечната точка на двете прави намираме от съвместното решение на техните уравнения

$$(9) \quad x_0 = x \sin^2 \theta + z \sin \theta \cos \theta + C_0 \cos^2 \theta.$$

Преминаваме към безразмерни координати

$$(10) \quad \xi = \frac{x}{b}, \quad \eta = \frac{y}{b}, \quad \zeta = \frac{z}{b}.$$

Заместваме  $x_0$  в (8) и получаваме

$$(11) \quad -\rho = -\xi \cos \theta + \zeta \sin \theta + \bar{C}_0 \cos \theta, \quad \rho = r/b, \quad \bar{C}_0 = C/b.$$

Представяйки безразмерната деформация на повърхнината чрез изразите

$$(12) \quad \eta_k = f_{\delta_k}(\xi, \zeta) \delta_k(t), \quad \eta_e = f_{\delta_e}(\xi, \zeta) \delta_e(t)$$

и отчитайки, че  $\eta_k = -\rho \delta_k$ ,  $\eta_e = -\rho \delta_e$ , получаваме функцията  $f_{\delta}(\xi, \zeta)$  и нейната производна  $\partial f_{\delta}/\partial \xi$ .

$$(13) \quad f_{\delta}(\xi, \zeta) = \begin{cases} -\xi \cos \theta + \zeta \sin \theta + \bar{C}_0 \cos \theta & \text{на дясното кормило (елерон),} \\ 0 & \text{на крилото извън кормилото (елерона),} \end{cases}$$

$$(14) \quad \frac{\partial f_{\delta}}{\partial \xi} = \begin{cases} -\cos \theta & \text{на дясното кормило (елерон),} \\ 0 & \text{на крилото извън кормилото (елерона).} \end{cases}$$

За изчисляване на характеристиките на УО се използва вихров модел, при който крилото и УО се заменят с базова плоскост, на която се разполагат по определени правила системи от присъединени и свободни вихри [2]. В контролните точки се удовлетворява граничното условие за непротекаемост, а на базовата плоскост — условието за плавно обтичане (условието на Чаплигин — Жуковски). Удовлетворявайки тези условия, определяме циркулацията на вихрите, моделиращи носещата система. След това по формулатата на Жуковски за подемната сила определяме сумарните аеродинамични характеристики.

Ако означим безразмерните координати на средите на присъединените вихри чрез  $\xi_{pk-1}^{pk}$ ,  $\zeta_{pk-1}^{pk}$ , а тези на контролните точки чрез  $\xi_{vp-1}^{vp}$ ,  $\zeta_{vp-1}^{vp}$ , то смутената скорост, индуцирана в коя да е контролна точка, може да се представи във вида [2]

$$(15) \quad \frac{W_{vp,p-1}}{u_0} = \frac{1}{4\pi} \sum_k \sum_{\mu} (w_{vp,p-1}^{pk-1} \pm \sigma w_{vp,p-1}^{pk-1}) \Gamma_{pk-1}^{q_i}.$$

Знакът „+“ се отнася за симетрични спрямо равнината  $O\xi\eta$  деформации, а знакът „-“ — за асиметрични. Безразмерните скорости от вихровите системи на дясната  $w_{vp,p-1}^{pk-1}$  и на лявата  $\sigma w_{vp,p-1}^{pk-1}$  половина на базовата плоскост, заменяща крилото и УО, се изчисляват по известни формули [1].

Разглеждаме само циркулационно обтичане на крилото с УО при число на Струхал, клонящо към нула ( $p_i^* \rightarrow 0$ ). Циркуляцията определяме от следните системи уравнения [2]:

$$(16) \quad \begin{aligned} & \frac{1}{4\pi} \sum_{k=1}^N \sum_{\mu=1}^n (\omega_{y vpp-1}^{\mu kk-1} \pm \sigma \omega_{y vpp-1}^{\mu kk-1}) \Gamma_{\mu kk-1}^{q_i} = H_{vpp-1}^{(q_i)}, \\ & \sum_{k=1}^N \sum_{\mu=1}^n (\omega_{y vpp-1}^{\mu kk-1} \pm \sigma \omega_{y vpp-1}^{\mu kk-1}) \Gamma_{\mu kk-1}^{g_i} \\ & = - \sum_{k=1}^N \sum_{\mu=1}^n \left( \frac{\partial \omega_{y vpp-1}^{(2)\mu kk-1}}{\partial p_i^*} \pm \sigma \frac{\partial \omega_{y vpp-1}^{(2)\mu kk-1}}{\partial p_i^*} \right) \Gamma_{\mu kk-1}^{q_i}, \end{aligned}$$

$p=1, 2, \dots, N; v=1, 2, \dots, n-1; q_i=\delta, \dot{\delta}$ ,  
където

$$(17) \quad H_{vpp-1}^{(\delta)} = \partial f_\delta / \partial \xi, \quad H_{vpp-1}^{(\dot{\delta})} = f_\delta(\xi_{vpp-1}^{vp}, \zeta_{vpp-1}^{vp}).$$

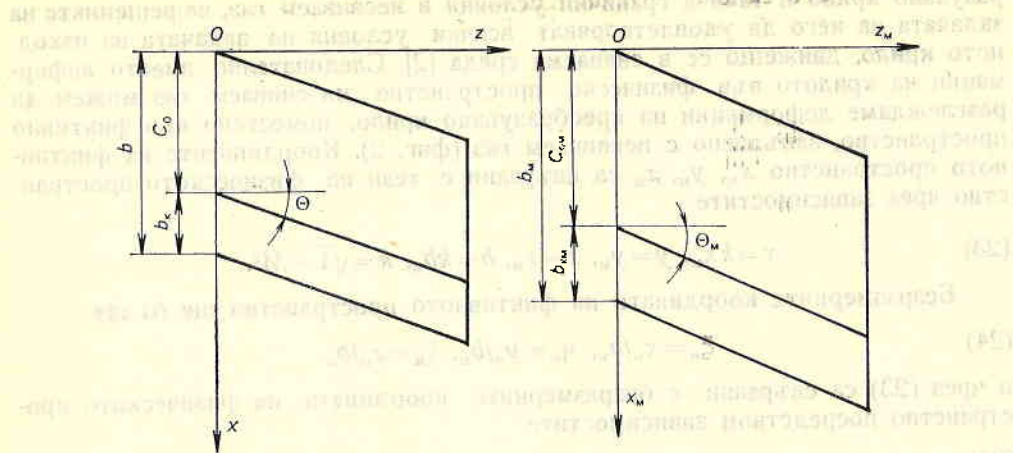
Безразмерните скорости, влизащи в (16)  $\partial \omega_{y vpp-1}^{(2)\mu kk-1} / \partial p_i^*$  и  $\sigma \partial \omega_{y vpp-1}^{(2)\mu kk-1} / \partial p_i^*$  се определят също от известни формули [1].

Изходдайки от (3) и (13), можем общата б-задача да разделим на редица частни задачи. За тази цел безразмерната циркулация представяме като сума [2]

$$(18) \quad \begin{aligned} \Gamma &= \Gamma_1 \cos \theta + \Gamma_2 \bar{C}_0 \cos \theta + \Gamma_{2\xi} \cos \theta + \Gamma_{2\xi} \sin \theta, \\ \Gamma_1 &= \Gamma_1^\delta \delta + \Gamma_1^{\dot{\delta}} \dot{\delta}, \quad \Gamma_2 = \Gamma_2^\delta \delta + \Gamma_2^{\dot{\delta}} \dot{\delta}, \\ \Gamma_{2\xi} &= \Gamma_{2\xi}^\delta \delta + \Gamma_{2\xi}^{\dot{\delta}} \dot{\delta}, \quad \Gamma_{2\xi} = \Gamma_{2\xi}^\delta \delta + \Gamma_{2\xi}^{\dot{\delta}} \dot{\delta}. \end{aligned}$$

За изследвания случай на обтичане при число на Струхал, клонящо към нула ( $p_i^* \rightarrow 0$ ), системите (16) могат да се представят в следния вид:

$$(19) \quad \begin{aligned} & \frac{1}{4\pi} \sum_{k=1}^N \sum_{\mu=1}^n (\omega_{y vpp-1}^{\mu kk-1} \pm \sigma \omega_{y vpp-1}^{\mu kk-1}) \Gamma_{1 \mu kk-1}^\delta = H_{1 vpp-1}, \\ & \sum_{k=1}^N \sum_{\mu=1}^n (\omega_{y vpp-1}^{\mu kk-1} \pm \sigma \omega_{y vpp-1}^{\mu kk-1}) \Gamma_{1 \mu kk-1}^{\dot{\delta}} \\ & = - \sum_{k=1}^N \sum_{\mu=1}^n \left( \frac{\partial \omega_{y vpp-1}^{(2)\mu kk-1}}{\partial p_i^*} \pm \sigma \frac{\partial \omega_{y vpp-1}^{(2)\mu kk-1}}{\partial p_i^*} \right) \Gamma_{1 \mu kk-1}^\delta, \\ & \frac{1}{4\pi} \sum_{k=1}^N \sum_{\mu=1}^n (\omega_{y vpp-1}^{\mu kk-1} \pm \sigma \omega_{y vpp-1}^{\mu kk-1}) \Gamma_{g \mu kk-1}^\delta = H_{g vpp-1}, \\ & p=1, 2, \dots, N; v=1, 2, \dots, n-1; g=2, 2\xi, 2\xi. \end{aligned}$$



Фиг. 2

Знакът „+“ се отнася за кормила, а знакът „–“ – за елерони.

$$(20) \quad \begin{aligned} H_{1\text{ vpp}-1} &= \begin{cases} -1 & \text{на дясното кормило (елерон),} \\ 0 & \text{на крилото извън кормилото (елерона),} \end{cases} \\ H_{2\text{ vpp}-1} &= \begin{cases} -1 & \text{на дясното кормило (елерон),} \\ 0 & \text{на крилото извън кормилото (елерона),} \end{cases} \\ H_{2\xi\text{ vpp}-1} &= \begin{cases} -\xi_{\text{vpp}-1} & \text{на дясното кормило (елерон),} \\ 0 & \text{на крилото извън кормилото (елерона),} \end{cases} \\ H_{2\xi\text{ vpp}-1} &= \begin{cases} -\xi_{\text{vpp}-1} & \text{на дясното кормило (елерон),} \\ 0 & \text{на крилото извън кормилото (елерона).} \end{cases} \end{aligned}$$

От (20) следва, че за всякакви стойности на  $M$  и  $p_i^*$

$$(21) \quad \Gamma_1^\delta = \Gamma_2^\delta.$$

Решавайки системите уравнения (19), можем да определим аеродинамичните характеристики в следния вид:

$$(22) \quad \begin{aligned} C &= C^\delta \delta + C^{\dot{\delta}} \dot{\delta}, \quad C^\delta = C_1 \cos \theta, \\ C^{\dot{\delta}} &= C_1^\delta \cos \theta - C_1^\delta \bar{C}_0 \cos \theta + C_{2\xi}^\delta \cos \theta - C_{2\xi}^\delta \sin \theta, \\ C &= C_y, m_x, m_z. \end{aligned}$$

От (22) се вижда, че ако оста на завъртане на УО е перпендикулярна на надлъжната ос на крилото, тъгъл  $\theta$  е равен на нула и системата уравнения относно  $\Gamma_{2\xi\text{ vpp}-1}^\delta$  може да не се решава.

В рамките на линейната теория влиянието на свиваемостта на средата може да се отчете, като задачата се сведе към обтичане с несвиваем газ на преобразувано крило. Когато движението на крилото е като на твърдо тяло и деформациите на неговата повърхност са по хармонични закони с чифла на Струхал, клонящи към нула, то може да се подбере такова преоб

разувано крило и такива гранични условия в несвиваем газ, че решенията на задачата за него да удовлетворяват всички условия на задачата за изходното крило, движещо се в свиваема среда [2]. Следователно вместо деформации на крилото във физическо пространство на свиваем газ можем да разглеждаме деформации на преобразувано крило, поместено във фиктивно пространство, запълнено с несвиваем газ (фиг. 2). Координатите на фиктивното пространство  $x_m, y_m, z_m$  са свързани с тези на физическото пространство чрез зависимостите

$$(23) \quad x = kx_m, \quad y = y_m, \quad z = z_m, \quad b = kb_m, \quad k = \sqrt{1 - M^2},$$

Безразмерните координати на фиктивното пространство ще бъдат

$$(24) \quad \xi_m = x_m/b_m, \quad \eta_m = y_m/b_m, \quad \zeta_m = z_m/b_m$$

и чрез (23) са свързани с безразмерните координати на физическото пространство посредством зависимостите

$$(25) \quad \xi_m = \xi, \quad \eta_m = k\eta, \quad \zeta_m = k\zeta.$$

Тогава деформацията на преобразуваното крило се представя чрез зависимостта

$$(26) \quad \eta_m(\xi_m, \zeta_m, \tau) = f_\delta\left(\xi_m, \frac{1}{k}\zeta_m\right)\delta_m(\tau),$$

а ъгълът, който оста на завъртане на УО образува с надлъжната ос на крилото — чрез зависимостта

$$(27) \quad \operatorname{tg} \theta_m = -\frac{1}{k} \operatorname{tg} \theta.$$

Системите уравнения (19) ще се представят по следния начин:

$$(28) \quad \begin{aligned} & \frac{1}{4\pi} \sum_{k=1}^N \sum_{\mu=1}^n (w_y^{ukk-1} \pm \sigma w_y^{ukk-1}) \Gamma_{1m \mu kk-1}^{\delta_{0m}} = H_{1m \nu pp-1}, \\ & \frac{1}{4\pi} \sum_{k=1}^N \sum_{\mu=1}^n (w_y^{ukk-1} \pm \sigma w_y^{ukk-1}) \Delta \Gamma_{1m \mu kk-1}^{\delta_{0m}} = -\xi_m^{\nu p} H_{1m \nu pp-1}, \\ & \sum_{k=1}^N \sum_{\mu=1}^n (w_y^{ukk-1} \pm \sigma w_y^{ukk-1}) \Gamma_{1m \mu kk-1}^{\delta_{0m}} \\ & = - \sum_{k=1}^N \sum_{\mu=1}^n \left( \frac{\partial w_y^{(2) ukk-1}}{\partial p_i^*} \pm \sigma \frac{\partial w_y^{(2) ukk-1}}{\partial p_i^*} \right) \Gamma_{1m \mu kk-1}^{\delta_{0m}}, \\ & \frac{1}{4\pi} \sum_{k=1}^N \sum_{\mu=1}^n (w_y^{ukk-1} \pm \sigma w_y^{ukk-1}) \Gamma_{gm \mu kk-1}^{\delta_{0m}} = H_{gm \nu pp-1}, \end{aligned}$$

$$p = 1, 2, \dots, N; \quad \nu = 1, 2, \dots, n-1; \quad g = 2, 2\xi, 2\zeta.$$

Величините  $H_{1m \nu pp-1}$  и  $H_{gm \nu pp-1}$  са съответно

$$(29) \quad \begin{aligned} H_{1m\,vpp-1} &= \begin{cases} -1 & \text{на дясното кормило (елерон),} \\ 0 & \text{на крилото извън кормилото (елерона),} \end{cases} \\ H_{2m\,vpp-1} &= \begin{cases} -1 & \text{на дясното кормило (елерон),} \\ 0 & \text{на крилото извън кормилото (елерона),} \end{cases} \\ H_{2\xi_m\,vpp-1} &= \begin{cases} -\xi_{m\,vpp-1}^{\nu p} & \text{на дясното кормило (елерон),} \\ 0 & \text{на крилото извън кормилото (елерона),} \end{cases} \\ H_{2\xi_m\,vpp-1} &= \begin{cases} -\xi_{m\,vpp-1}^{\nu p} & \text{на дясното кормило (елерон),} \\ 0 & \text{на крилото извън кормилото (елерона).} \end{cases} \end{aligned}$$

Вижда се, че в сравнение със случая  $M=0$  се появява нова система уравнения относно циркулацията  $\Delta\Gamma_{1m\,pk-1}^{\delta_{0m}}$ .

След решаване на системите уравнения (28) и определяне на неизвестните циркулации на вихрите, моделиращи преобразуваното крило и УО, можем да определим аеродинамичните производни при симетрични спрямо равнината  $\xi_O\eta$  деформации по следните формули:

$$(30) \quad \begin{aligned} C_y^{q_i} &= 4 \frac{b_m^2}{S_m} \sum_{k=1}^N \bar{l}_{m\,kk-1} \sum_{\mu=\mu_0}^{\mu_1} \Gamma_{m\,\mu kk-1}^{q_i}, \\ C_{y_{1m}}^{\dot{q}_i} &= 4 \frac{b_m^2}{S_m} \sum_{k=1}^N \bar{l}_{m\,kk-1} \sum_{\mu=\mu_0}^{\mu_1} \Gamma_{m\,\mu kk-1}^{\dot{q}_i}, \\ C_{y_{2m}}^{\dot{q}_i} &= 4 \frac{b_m^2}{S_m} \sum_{k=1}^N \bar{l}_{m\,kk-1} \sum_{\mu=\mu_0}^{\mu_1} \Delta\Gamma_{m\,\mu kk-1}^{\dot{q}_i} - m_{2m}^{q_i}, \\ m_{z_m}^{q_i} &= -4 \frac{b_m^2}{S_m} \sum_{k=1}^N \bar{l}_{m\,kk-1} \sum_{\mu=\mu_0}^{\mu_1} \Gamma_{m\,\mu kk-1}^{q_i} \xi_{m\,\mu k-1}^{\mu k}, \\ m_{z_{1m}}^{\dot{q}_i} &= -4 \frac{b_m^2}{S_m} \sum_{k=1}^N \bar{l}_{m\,kk-1} \sum_{\mu=\mu_0}^{\mu_1} \Gamma_{m\,\mu kk-1}^{\dot{q}_i} \xi_{m\,\mu k-1}^{\mu k}, \\ m_{z_{2m}}^{\dot{q}_i} &= -4 \frac{b_m^2}{S_m} \left[ \sum_{k=1}^N \bar{l}_{m\,kk-1} \sum_{\mu=\mu_0}^{\mu_1} \Delta\Gamma_{m\,\mu kk-1}^{\dot{q}_i} \xi_{m\,\mu k-1}^{\mu k} \right. \\ &\quad \left. + \sum_{k=1}^N \bar{l}_{m\,kk-1} \sum_{\mu=\mu_0}^{\mu_1} \Gamma_{m\,\mu kk-1}^{\dot{q}_i} (\xi_{m\,\mu k-1}^{\mu k})^2 \right] \\ &\quad - \frac{b_m^2}{3S_m} \sum_{k=1}^N \bar{l}_{m\,kk-1} \sum_{\mu=\mu_0}^{\mu_1} \Gamma_{m\,\mu kk-1}^{q_i} \operatorname{tg}^2 \chi_{m\,\mu k-1}^{\mu k}, \\ q_i &= \delta_{0m}. \end{aligned}$$

А при асиметрични деформации — по следните:

$$\begin{aligned}
 C_{y_m}^{q_i} &= C_{y_{1m}}^{\dot{q}_i} = C_{y_{2m}}^{\dot{q}_i} = m_{z_m}^{q_i} = m_{z_{1m}}^{\dot{q}_i} = m_{z_{2m}}^{\dot{q}_i}, \\
 m_{x_m}^{q_i} &= -4 \frac{b_m^2}{S_m} \sum_{k=1}^N \bar{l}_{mkk-1} \sum_{\mu=\mu_0}^{\mu_1} \Gamma_{m\mu kk-1}^{q_i} \zeta_{m\mu k-1}^{\mu k}, \\
 (31) \quad (m_{x_m}^{q_i})_1 &= -4 \frac{b_m^2}{S_m} \sum_{k=1}^N \bar{l}_{mkk-1} \sum_{\mu=\mu_0}^{\mu_1} \Gamma_{m\mu kk-1}^{q_i} \zeta_{m\mu k-1}^{\mu k}, \\
 (m_{x_m}^{q_i})_2 &= -4 \frac{b_m^2}{S_m} \left[ \sum_{k=1}^N \bar{l}_{mkk-1} \sum_{\mu=\mu_0}^{\mu_1} \Delta \Gamma_{m\mu kk-1}^{q_i} \zeta_{m\mu k-1}^{\mu k} \right. \\
 &\quad + \sum_{k=1}^N \bar{l}_{mkk-1} \sum_{\mu=\mu_0}^{\mu_1} \Gamma_{m\mu kk-1}^{q_i} \zeta_{m\mu k-1}^{\mu k} \xi_{m\mu k-1}^{\mu k} \\
 &\quad \left. - \frac{1}{12} \sum_{k=1}^N \bar{l}_{mkk-1}^3 \sum_{\mu=\mu_0}^{\mu_1} \Gamma_{m\mu kk-1}^{q_i} \operatorname{tg} \chi_{\mu k-1}^{\mu k} \right], \\
 q_i &= \delta_{\theta_m},
 \end{aligned}$$

където  $\mu_0$  е номер на вихъра, намиращ се най-близо до предния ръб;  $\mu_1$  — номер на вихъра, намиращ се най-близо до задния ръб.

Обикновено коефициентът на напречния момент се отнася не към корневата хорда  $b$  или САХ, а към разпереността на крилото  $l$ . Тогава коефициентите на аеродинамичните производни отбеляваме с индекс 1.

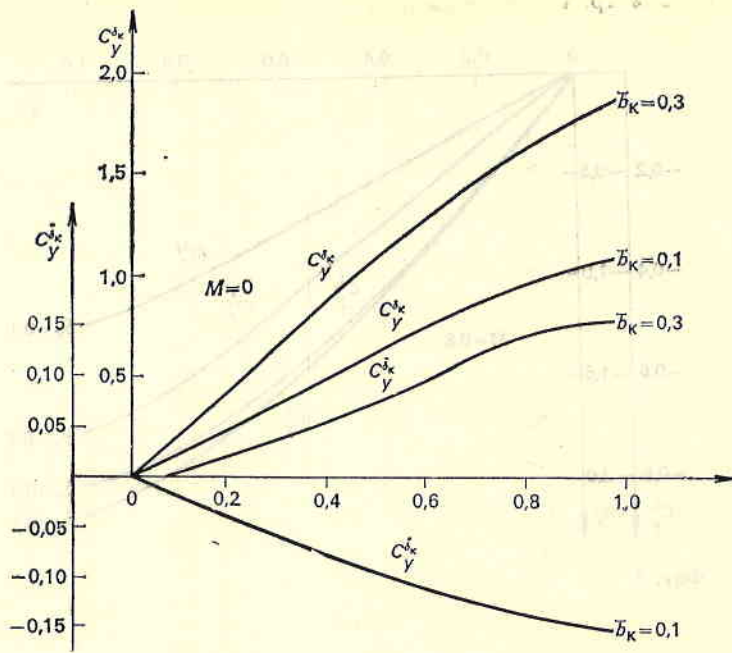
$$(32) \quad m_{x_{1m}}^{q_i} = \frac{b_m}{l_m} m_{x_m}^{q_i}, \quad (m_{x_{1m}}^{q_i})_1 = \frac{b_m}{l_m} (m_{x_m}^{q_i})_1, \quad (m_{x_{1m}}^{q_i})_2 = \frac{b_m}{l_m} (m_{x_m}^{q_i})_2.$$

Като имаме предвид зависимостта

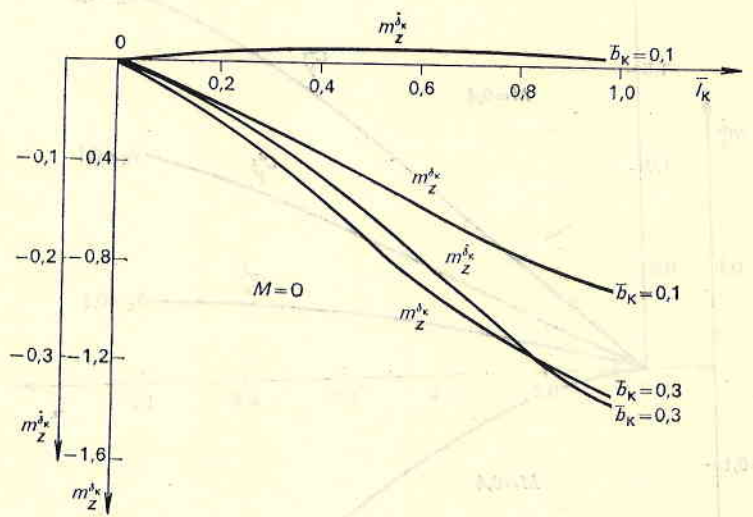
$$(33) \quad \delta_\theta \cos \theta = \delta, \quad \delta_{\theta_m} \cos \theta_m = \delta_m$$

и зависимост (25), можем от характеристиките на преобразуваното крило и УО в несвиваема среда да се върнем към производните в свиваема среда чрез формулите за подемната сила

$$\begin{aligned}
 (34) \quad kC_{y_1}^{\delta_0} &= C_{y_{1m}}^{\delta_{0m}}, \quad kC_{y_{2\xi}}^{\delta_0} = C_{y_{2\xi m}}^{\delta_{0m}}, \quad kC_{y_{2\xi}}^{\delta_0} = C_{y_{2\xi m}}^{\delta_{0m}}, \\
 k^3 C_{y_1}^{\delta_0} &= C_{y_{11m}}^{\delta_{0m}} + M^2 C_{y_{12m}}^{\delta_{0m}};
 \end{aligned}$$



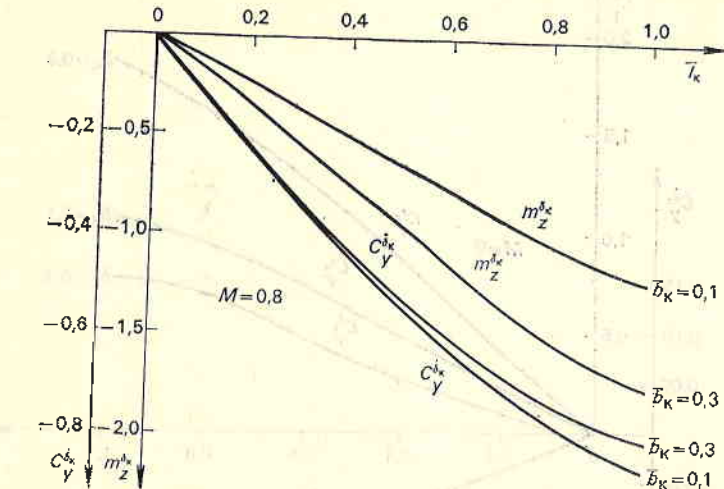
Фиг. 3



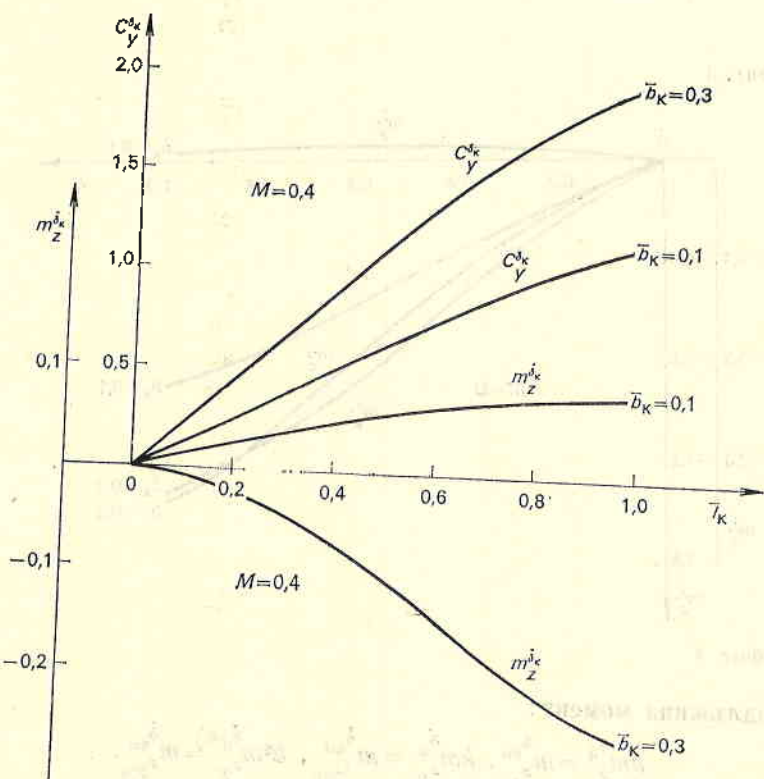
Фиг. 4

За надльжния момент:

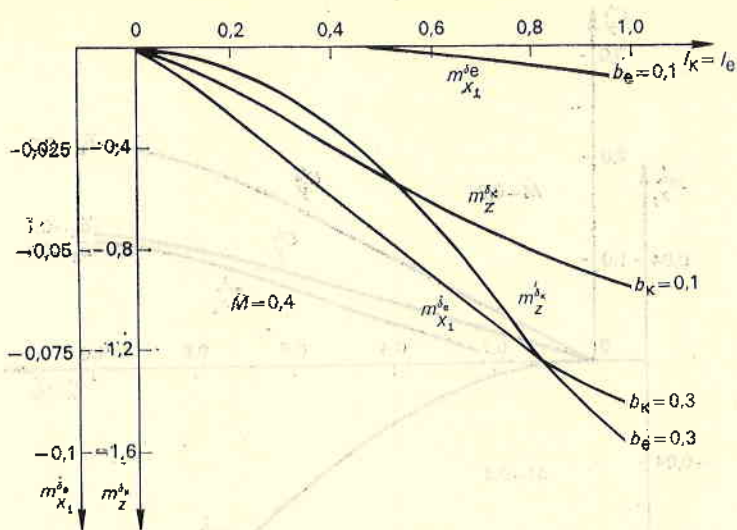
$$(35) \quad \begin{aligned} km_{z_1}^{\delta\theta} &= m_{z_{1M}}^{\delta\theta_M}, \quad km_{z_{2\xi}}^{\delta\theta} = m_{z_{2\xi M}}^{\delta\theta_M}, \quad k^2 m_{z_{2\xi}}^{\delta\theta} = m_{z_{2\xi M}}^{\dot{\delta}\theta_M}, \\ k^3 m_{z_1}^{\delta\theta} &= m_{z_{11M}}^{\delta\theta_M} + M^2 m_{z_{12M}}^{\delta\theta_M}; \end{aligned}$$



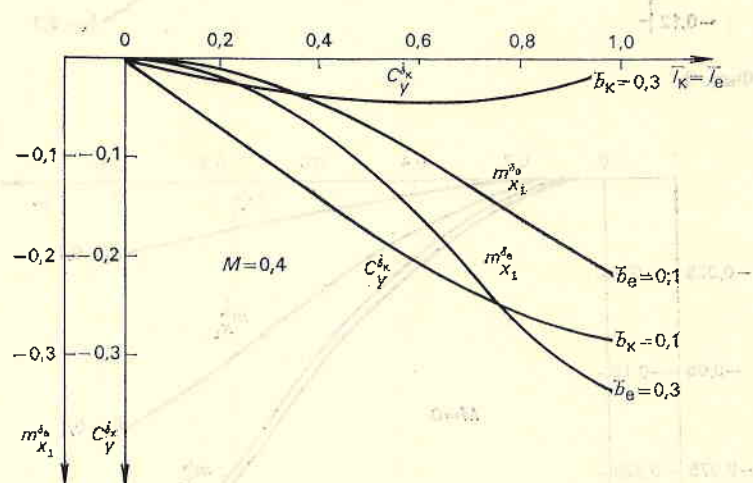
Фиг. 5



Фиг. 6



Фиг. 7



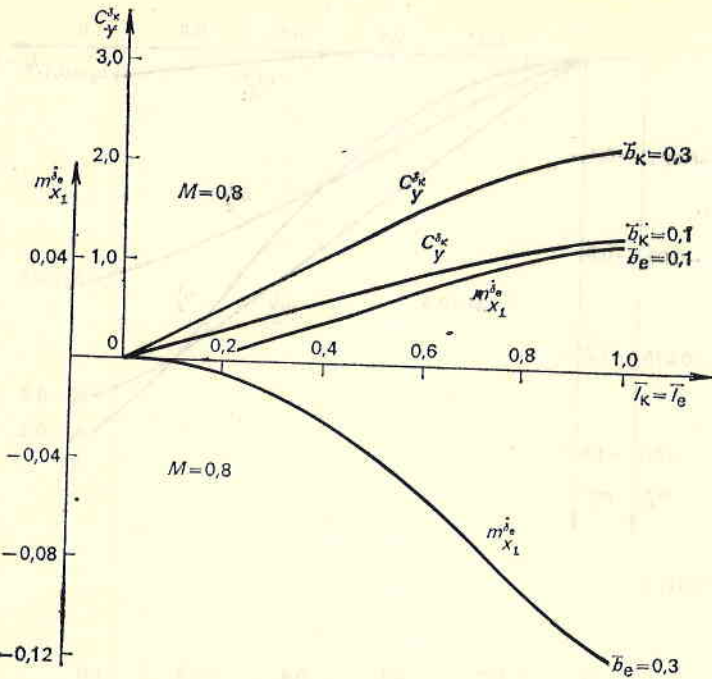
Фиг. 8

За напречния момент:

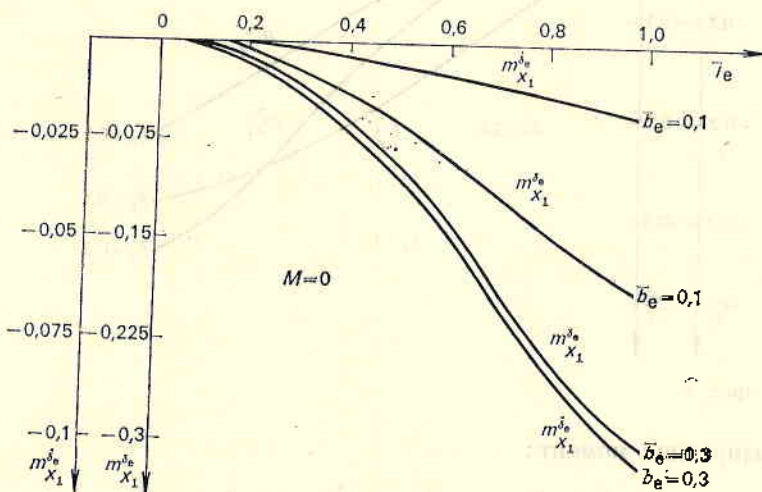
$$(36) \quad k^2 m_{x_1}^{\delta_0} = m_{x_{1M}}^{\delta_{0M}}, \quad k^2 m_{x_{2\xi}}^{\delta_0} = m_{x_{2\xi M}}^{\delta_{0M}}, \quad k^3 m_{x_{2\xi}}^{\delta_0} = m_{x_{2\xi M}}^{\delta_{0M}},$$

$$k^4 m_{x_1}^{\delta_0} = m_{x_{11M}}^{\delta_{0M}} + M^2 m_{x_{12M}}^{\delta_{0M}}.$$

От решението по този начин базови δ-задачи можем да определим по формула (22) сумарните характеристики на УО в дозвуковия диапазон от скорости ( $0 \leq M \leq 1$ ).

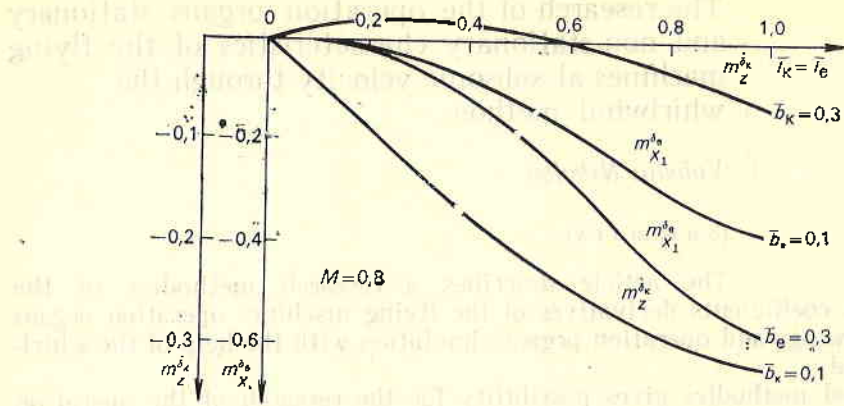


Фиг. 9



Фиг. 10

С помощта на изложената методика е изследвано стреловидно крило ( $\lambda = 2,5$ ;  $\eta = 1$ ;  $\chi_0 = 20^\circ$ ) и УО със същата форма в план, започващи от корната хорда. Безразмерните геометрични параметри на УО са относителна хорда  $b_k = b_k/b$  и относителна разпереност  $\bar{l}_k = l_k/b$ . Параметърът приема две



Фиг. 11

стойности  $\bar{b}_k = \bar{b}_e = 0,1$  и  $\bar{b}_k = \bar{b}_e = 0,3$ , а параметърът  $\bar{l}_k$  се изменя от 0 до 1.

На фиг. 3—11 са построени зависимостите на коефициентите  $C_y^\delta$ ,  $m_z^\delta$ ,  $m_{x_1}^\delta$ ,

$C_y^\delta$ ,  $m_z^\delta$ ,  $m_{x_1}^\delta$ , характеризиращи ефективността на УО (кормила и елерони).

Тези коефициенти са представени във функция от относителната разпределеност на УО. Стойностите на коефициентите са определени за числа на  $\text{Max } M=0$ ;  $M=0,4$ ,  $M=0,8$ .

УО на дясната половина на базовата плоскост са моделирани с помощта на 120 вихъра, като се счита, че на лявата половина на крилото има симетрично разположени УО. Останалата част от крилото е моделирано с помощта на 96—108 вихъра.

## Литература

1. Белоцерковский, С. М., Б. К. Скрипач, В. Г. Табачников. Крыло в нестационарном потоке газа. М., Наука, 1971.
2. Белоцерковский, С. М., Б. К. Скрипач. Аэродинамические производные летательного аппарата и крыла при дозвуковых скоростях. М., Наука, 1975.
3. White, R. B., M. T. Landahl. Effect of gaps on the loading distribution of planar lifting surfaces. — AIAA Journal, 1968, No 4.

Постъпила на 19. XII. 1989 г.

# The research of the operation organs stationary and non-stationary characteristics of the flying machines at subsonic velocity through the whirlwind method

*Volodia Nikolov*

(S u m m a r y)

The article describes a research methodics of the aerodynamic coefficients derivatives of the flying machines operation organs through the wings and operation organs simulation with the help of the whirlwind method.

Suggested methodics gives possibility for the research of the operation organs stationary and non-stationary (numbers of Struhal close to zero) characteristics at their free location with reference to wings root hord.

Through suggested methodics the arrowlike-wing wheels and ailerons aerodynamic characteristics are calculated with the help of computer. The received dependences describes operation organs efficiency with reference to hord and wing-spread at subsonic velocity.

Съдържанието на статията е посветено на изследване методиката за определяне на производните кофициенти на аеродинамиката на летящите машини с помощта на вихров метод. Тя описва вихров метод за изследване на стационарни и нестационарни характеристики на летящите машини с оперативни органи, като те са разположени във въздушния поток със своята коренна хорда и със своята разпределение на разтворението на крила. Съдържанието е съставено от две главни части: методика за определяне производните кофициенти на аеродинамиката на летящите машини с оперативни органи и методика за определяне производните кофициенти на аеродинамиката на летящите машини с оперативни органи с помощта на вихров метод.

Методиката за определяне производните кофициенти на аеродинамиката на летящите машини с оперативни органи с помощта на вихров метод е съставена от две главни части: методика за определяне производните кофициенти на аеродинамиката на летящите машини с оперативни органи с помощта на вихров метод и методика за определяне производните кофициенти на аеродинамиката на летящите машини с оперативни органи с помощта на вихров метод.